



## شیمی کانی گابروهای همسانگرد افیولیت کرمانشاه، شواهدی بر خاستگاه زمین‌ساختی

فرهاد آلیانی، زینب دارایی‌زاده\*

گروه زمین‌شناسی، دانشکده علوم، دانشگاه بوعلی‌سینا، همدان

(دریافت مقاله: ۹۶/۶/۷، نسخه نهایی: ۹۶/۱۰/۱۳)

چکیده: گابروهای همسانگرد افیولیت کرمانشاه شامل طیفی از گابرو، الیوین گابرو، گابرو نوریت، الیوین گابرو نوریت و تروکتولیت هستند که بیشتر متوسطبلور هستند و از کلینوپیروکسن، پلازیوکلاز، ارتوپیروکسن، الیوین و به مقدار کم آمفیبول تشکیل شده‌اند. کلینوپیروکسن‌ها با ترکیب اوزیت - دیوپسید -  $\text{Mg}^{\#}$  و  $\text{TiO}_2$  غنی از کلسیم و فقیر از سدیم  $\text{Na}_2\text{O}$  کمتر از ۰,۵۴ درصد وزنی)، با مقدار نسبتاً بالای  $\text{Mg}^{\#}$  و  $\text{TiO}_2$  کمتر از ۰,۲۸ درصد وزنی) مشخص می‌شوند. پلازیوکلازها بیشتر از نوع بیتونیتی هستند و ترکیب آنها از آنورتیت غنی است ( $\text{An}_{(70/51-90/02)} \text{Ab}_{(9/62-29/02)}$  و  $\text{Or}_{(0/00-0/63)}$ ). مؤلفه فورستریتی الیوین‌ها در گستره  $80/07-84/82$  تغییر می‌کند. اغلب ارتوپیروکسن‌ها ترکیب انسټاتیتی دارند و گستره ترکیبی آنها ( $\text{En}_{(78/22-84/94)} \text{Fs}_{(12/0-20/07)} \text{W}_{(1/42-3/26})$ ) است. آمفیبول‌ها از منیزیم غنی هستند (تروکولیت، اکتینولیت و منیزیوپیروکلیند) و  $\text{Mg}^{\#}$  آنها در گستره  $84/86$  تا  $64/35$  تغییر می‌کند. وجود الیوین‌ها و پیروکسن‌های با منیزیم بالا، پلازیوکلازهای کلسیک و نیز وجود کانی آمفیبول در گابروها نشان دهنده تشکیل آنها در محیط زمین‌ساختی مربوط به فرورانش است. نمودارهای تعیین خاستگاه زمین‌ساختی کلینوپیروکسن‌ها، ویژگی‌های شاخص جزایر کانی خاستگاه مانگما را نشان می‌دهند. براساس نتایج افیولیت کرمانشاه در محیط پهنه ابرفرورانشی در شاخه جنوبی نئوتیس تشکیل شده است.

واژه‌های کلیدی: افیولیت کرمانشاه، گابروهای همسانگرد، شیمی کانی، پهنه ابرفرورانشی.

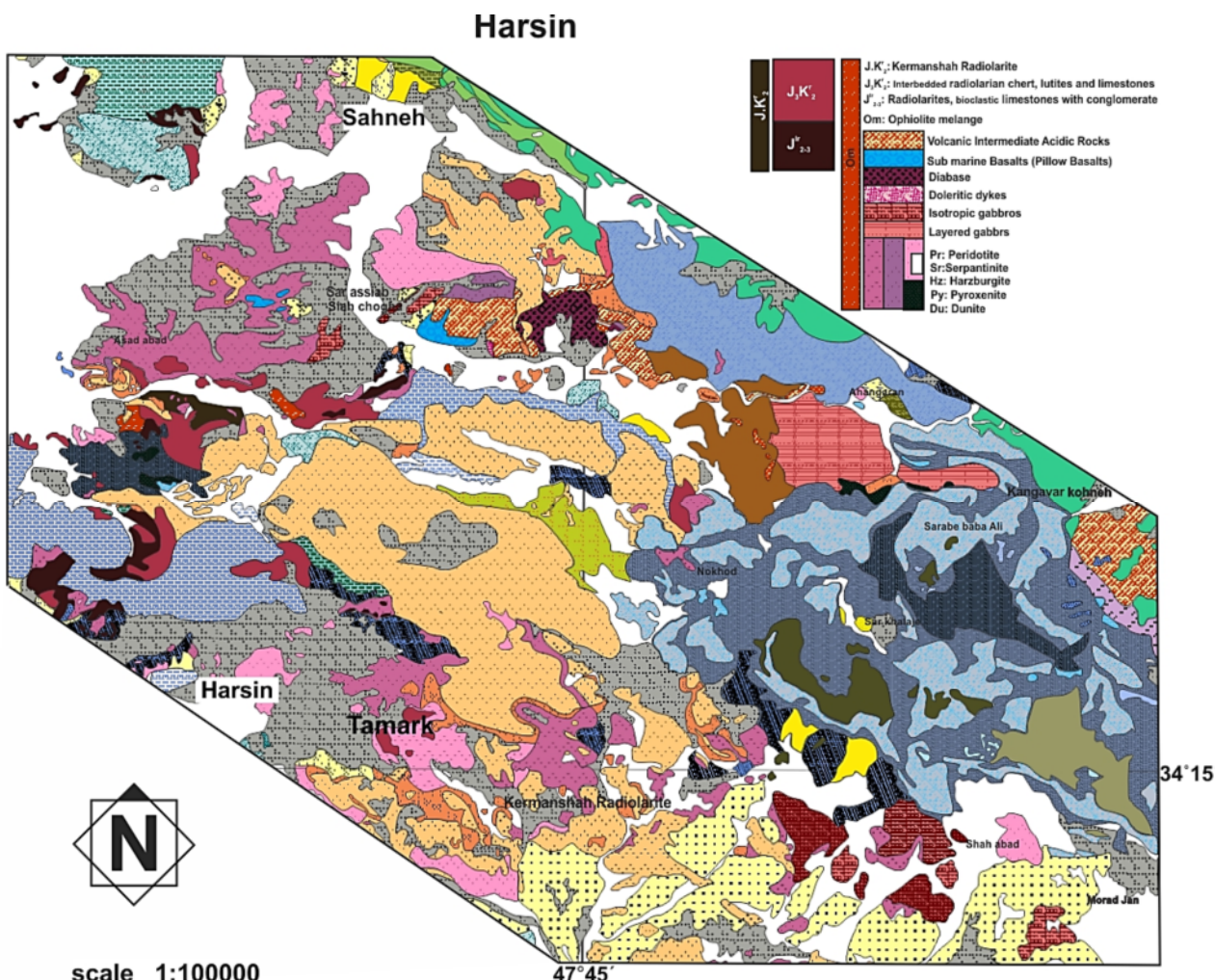
کربنات‌های بیستون پوشانده شده‌اند. نقشه زمین‌شناسی ساده-

ای از منطقه مورد بررسی (برگرفته از مرجع [۲]) در شکل ۱ آمده است.

بررسی سنگ‌های تشکیل‌دهنده توالی افیولیتی از اهمیت بسیاری در تعیین جایگاه زمین‌ساختی ماقمایی و نیز بررسی دگرگونی‌های حوضه اقیانوسی برخوردار است. گابروهای انباشتی (لایه‌ای) و نیز انواع همسانگرد از سنگ‌های تشکیل دهنده توالی مافیک بسیاری از توالی‌های افیولیتی هستند [۳-۷]. گابروهای همسانگرد در بالای توالی انباشتی قرار دارد که عمولاً به صورت توده‌ای غیرانباشتی، بدون برگوارگی و لایه-بندي هستند [۸]. گابروهای لایه‌ای و همسانگرد، از نظر کانی-شناسی و زمین‌شیمی عناصر اصلی بسیار شبیه هستند و تنها

مقدمه

افیولیت کرمانشاه (صفنه - هرسین) در پهنه زمین‌ساختی - ساختاری غرب ایران، در زمین‌درز زاگرس قرار گرفته است و از افیولیت‌های کمریند خارجی زاگرس (ZOB) محسوب می‌شود [۱]. این مجموعه افیولیتی انواع مختلفی از سنگ‌ها را در بر می‌گیرد: پریدوتیتها (فرامافیک‌های دارای بافت تکتونیت سنگی و نیز انواعی که دارای بافت انباشتی هستند)، توالی گابرویی (گابروهای پگماتوئیدی، گابروهای آمفیبول‌دار، لوکوگابروها، متاگابروهای لایه‌ای و میلدونیتی، گابروهای همسانگرد و تروکتولیت‌ها)، ورلیت‌ها، دایک‌های صفحه‌ای، پیلولاواها، بازل‌های اسپیلیتی، سنگ‌های آذرین حدواسط که به طور دگرشیب توسعه نهشته‌های رسوبی - تخریبی و نیز



شکل ۱ نقشه زمین‌شناسی ۱:۱۰۰۰۰۰ هرسین (برگرفته از مرجع [۲] با اندکی تغییرات).

صورت توالی‌های کم ارتفاع و کشیده و گاه به صورت ارتفاعات بلند حدود ۵۰۰ تا ۷۰۰ متر در ناحیه رخنمون دارند. کشیدگی کلی این توالی در ناحیه صحنه به صورت شرقی - غربی با تمایل به شمال غرب - جنوب شرق است و به طور کلی از روند ارتفاعات زاگرس (کوه بیستون) پیروی می‌کند. ضخیم‌ترین توالی گابرویی صحنه، مربوط به حد فاصل بین روستای سیاه-چقا و روستای علی‌آباد گروس است. رنگ این سنگ‌ها در نمونه‌های دستی سیاه و خاکستری است و در نمونه‌های دگرسان شده به رنگ سبز تیره دیده می‌شوند. بیشترین دگرسانی در گابروهای شمال روستای علی‌آباد گروس دیده می‌شود. توالی گابرویی ناحیه صحنه از ساختهای متفاوتی برخوردارند: نخست گابروهای انباشتی قرار دارند که رخنمون آنها پس از روستای سرآسیابان شروع می‌شود و تا پس از

از نظر فراوانی عنصر کمیاب ناسازگار تفاوت دارند [۹]. گابروهای لایه‌ای دارای مقادیر پایین‌تر  $\text{TiO}_2$ ,  $\text{P}_2\text{O}_5$ ,  $\text{K}_2\text{O}$  و عنصر کمیاب ناسازگار هستند. افیولیت کرمانشاه دارای هر دو نوع گابروهای لایه‌ای و همسانگرد است. شیمی کانی گابروهای همسانگرد نقش مهمی در درک تاریخچه زمین‌ساختی مجموعه‌های افیولیتی دارد. در این پژوهش، با توجه به نتایج برآمده از شیمی کانی گابروهای همسانگرد افیولیت کرمانشاه، ویژگی‌های سنگ‌شناسی، خاستگاه و نیز خاستگاه زمین‌ساختی این سنگ‌ها تعیین می‌شود.

**روابط صحرایی سنگ‌های مافیک**  
در جنوب شهر صحنه در همسایگی فرامافیک‌ها، مجموعه متنوعی از گابروها قرار دارد. گابروها فراوان‌ترین توده‌های مافیک در این ناحیه هستند [۱۰]؛ توده‌های گابرویی گاه به-

شناسی، ۱۶ نمونه از گابروها انتخاب و ترکیب شیمیایی کانی‌های تشکیل دهنده آنها (پلاژیوکلاز، پیروکسن، آمفیبول و الیوین) بر مقاطع نازک صیقلی به روش ریزپردازش الکترونی در ۱۵۰ نقطه، در آزمایشگاه زمین‌شیمی مؤسسه زمین‌شناسی و کانی‌شناسی سوبولف (نووسیبریسک) شاخه سیری انجمن علوم زمین روسیه توسط دستگاه ریزکاو الکترونی مدل JEOL JXA-8100 با ولتاژ شتاب‌دهنده  $20\text{ kV}$  و شدت جریان  $200\text{ nA}$  تعیین شد. نتایج به دست آمده در جدول‌های ۱-۴ ارائه گردیده است. بررسی و پردازش داده‌ها با استفاده از نرم‌افزارهای GCDKit، Igpet و Minpet انجام شده است.

### سنگنگاری

گابروهای همسانگرد مورد بررسی شامل طیفی از گابرو، الیوین گابرو، گابرو نوریت، الیوین گابرو نوریت و تروکتولیت هستند که در ادامه توضیح داده می‌شود.

**گابروها:** بافت دانه‌ای، پوئی‌کیلیتیک نشان می‌دهند (شکل ۲)، ترکیب کانی‌شناسی آنها عبارت است از: پلاژیوکلاز (۶۵-۷۰ درصد)، کلینوپیروکسن (۲۰-۲۵ درصد)، ارتوپیروکسن (۴-۵ درصد)، الیوین (۱۱ تا ۲ درصد) و آمفیبول (۱ تا ۲ درصد). کروم‌اسپینل کانی فرعی و کانی‌های رسی، زوئیزیت، کلریت و مگنتیت کانی‌های ثانویه این سنگ‌ها هستند.

پلاژیوکلازها به صورت بلورهای شکل‌دار تا نیمه‌شکل‌دار هستند و تا اندازه‌ای به سریسیت دگرسان شده‌اند. پلاژیوکلاز گاهی در کلینوپیروکسن به صورت میانبار وجود دارد (شکل‌های ۲ پ و ت). حضور بلورهایی از پلاژیوکلاز درون پیروکسن یا برعکس، به ویژه در گابروها، بیانگر همزمانی تبلور این دو فاز کانیایی است.

از ویژگی‌های پلاژیوکلازها می‌توان به خمیدگی سطوح ماکل و ایجاد کینک‌باند اشاره کرد (شکل ۲ ث) که بر دگرشکلی پلاستیک دلالت دارد. همچنین عدم وجود منطقه‌بندی در پلاژیوکلازها نشان از تبلور تعادلی آنها دارد. کلینوپیروکسن‌ها به صورت شکل‌دار تا نیمه‌شکل‌دار دیده می‌شوند و با توجه به ویژگی‌های نوری از نوع اوژیت هستند و معمولاً به ترمولیت، اکتینولیت و مگنتیت دگرسان شده‌اند. این جانشینی‌های کلینوپیروکسن، از کناره بلورهای اوژیت شروع شده و تا مرکز بلور گسترش یافته است (شکل ۲ ج).

روستای سیاه چقا و اطراف روستای علی‌آباد گروس ادامه دارد. گذر از سنگ‌های فرامافیک گوشه‌ای به سنگ‌های بازی پوسته‌ای با الیوین‌گابرو و تروکتولیت دنبال شده است. تروکتولیتها در شمال شرق روستای سیاه‌چقا و نیز در روستای ارگنه بالا از گسترش نسبتاً خوبی برخوردارند. تروکتولیتها توسط لایه‌ای با ضخامت کم حدود ۴۰ متر شامل دونیت، هارزبورزیت و پیروکسینیت تالکی شده از هارزبورزیت‌های زمین‌ساختی مجزا می‌شوند و در بعضی از قسمت‌ها به طور مستقیم و با برخورد گسله بر هارزبورزیت‌ها قرار می‌گیرند. سنگ‌های همراه این واحد، پیروکسن‌گابروها و گابروهای الیوین‌دار هستند که توسط عملکرد گسل‌های روراندگی خرد شده و با هم آمیخته‌اند.

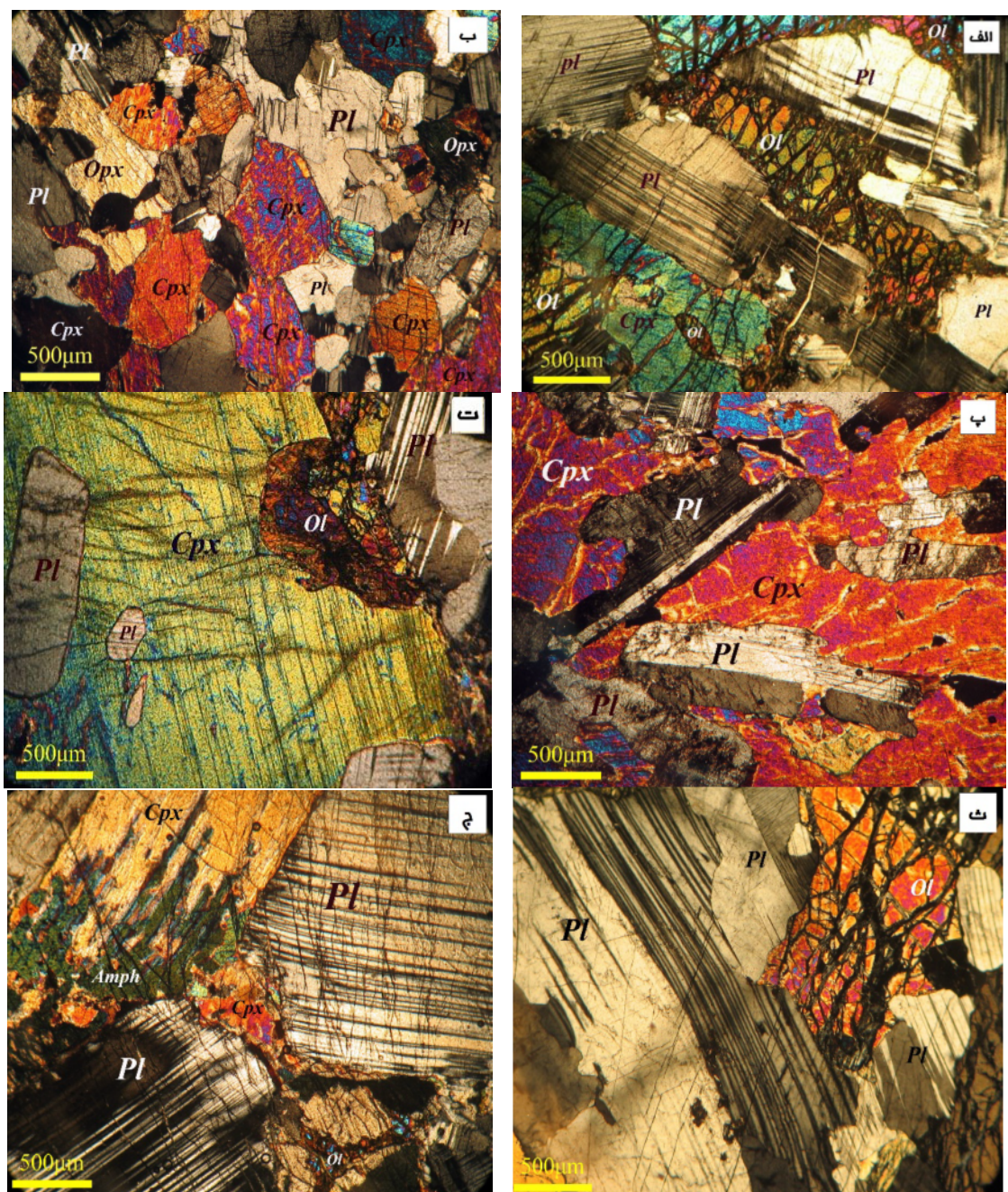
علاوه بر گابروهای نام برد، گابروهای پگماتوئیدی نیز در منطقه وجود دارند که در صحنه گسترش محدودی دارند. همچنین در شمال شرق هرسین (در نزدیکی توده‌های سرپانتینی) و نیز در اطراف نورآباد (شهرستان دلفان، استان لرستان) رخنمونی از این گابروها دیده می‌شود. در این گابروها، درشت‌بلورهای کلینوپیروکسن به اندازه ۴-۵ میلی‌متری توسط پلاژیوکلازها احاطه شده یا به صورت میانبار در این بلورها قرار گرفته‌اند. گابروهای پگماتوئیدی قسمت زیرین توالی مافیک را تشکیل می‌دهند؛ به سمت بالای توالی، به تدریج اندازه و ابعاد بلورها ریزتر شده و گابروهای همسانگرد جای گابروهای پگماتوئیدی را می‌گیرند. پس از روستای گروس، به سمت شرق ناحیه، گابروها به تدریج جهت‌یافته شده و با گنیسوزیت‌های نمونه‌های دستی مشخص می‌شوند. سرانجام پس از روستای شوه به واسطه تأثیر روراندگی، گابروهای همسانگرد به تدریج به گابروهای میلیونیتی تبدیل می‌شوند. البته چندین توده از گابروهای همسانگرد متعلق به افیولیت کرمانشاه در اطراف نورآباد و نیز در جاده نورآباد - هرسین به صورت تپه‌های منفرد رخنمون یافته‌اند، و به‌وضوح گابروهای همسانگرد در این منطقه گسترش بسیار بیشتری را به خود اختصاص داده‌اند.

### روش کار

مرحله نخست شامل جمع‌آوری نمونه‌های متعدد از انواع گابروهای موجود در توالی افیولیتی موردنظر، تهیه مقاطع نازک از سنگ‌ها و بررسی‌های میکروسکوپی برای سنگ‌شناسی و سنگنگاری آن‌هاست. با توجه به تفکیک صحرایی و سنگ-







شکل ۲ تصاویر مقاطع میکروسکوپی گابروهای همسانگرد افیولیت کرمانشاه. علائم اختصاری به کار رفته عبارتند از Ol: الیون، Opx: ارتوبیپروکسن؛ Cpx: کلینوبیپروکسن؛ Pl: پلاژیوکلاز [۱۱].

کلینوبیپروکسن‌ها و پلاژیوکلاز قرار گرفته‌اند. از جمله شواهد دگرسانی مؤثر بر این سنگ‌ها می‌توان به تشکیل آمفیبول (اورالیت) از پیروکسن؛ سرپانتین و مگنتیت برآمده از الیون و نیز کلریتی شدن اشاره کرد.

الیون‌گابروها بافت دانه‌ای، پوئی‌کیلیتیک نشان می‌دهند؛ ترکیب کانی‌شناسی آنها شامل پلاژیوکلاز (۶۰ تا ۶۵ درصد)، کلینوبیپروکسن (۱۵ تا ۲۰ درصد)، ارتوبیپروکسن (کمتر از ۵

کلینوبیپروکسن‌ها همچنین دارای تیغه‌های جدایشی ارتوبیپروکسن هستند و لبه‌های آنها توسط آمفیبول‌های جانشین شده است. آمفیبول‌ها از نوع هورنبلند و اکتینولیت (ثانویه) به صورت بلورهای نیمه‌شکل دار تا بی‌شکل حضور دارند و گاهی به کلریت تبدیل شده‌اند. کانی‌های تیره نظیر اکسیدهای آهن – تیتانیم (تیتانومگنتیت)، پنتلاندیت، پیروتیت، به ندرت کوولیت، کالکوپیریت بعنوان کانی‌های فرعی در بین

درصد وزنی) مشخص می‌شود. گابروهای مورد بررسی دارای مقدار نسبتاً بالای  $Mg^{\#}$  ( $Mg/[Mg + Fe^{2+}]$ ) ۱۰۰؛ در گستره ۸۵/۶۲ تا ۸۹/۳۵ و اندک  $TiO_2$ ؛ بین ۰/۲۸ تا ۰/۵۶ درصد وزنی) هستند. گستره ترکیبی کلینوپیروکسن‌ها تغییرات نسبتاً کم ( $En_{(45/79-50/91)}\text{, }Fs_{(3/64-7/41)}$ ) و  $W_{(43/81-48/5)}$  و ترکیب اوزیت تا دیوپسید را بر نمودار  $Wo-Fs$  (شکل ۳ الف [۱۲]) نشان می‌دهند. فرمول ساختاری میانگین بر مبنای ۶ اتم اکسیژن و ۴ کاتیون برای کلینوپیروکسن‌ها در جدول ۱ آورده شده است. کلینوپیروکسن‌های مورد بررسی شbahت‌های بسیاری را با کلینوپیروکسن‌های مربوط به جزایر قوسی نشان می‌دهند.

ارتوبیروکسن ارتوبیروکسن‌های گابروهای همسانگرد دارای مقادیر بالای  $Mg^{\#}$  ( $79/59-85/72$ )،  $SiO_2$  ( $54/0-55/70$ ) درصد وزنی) هستند اما تغییرات قابل ملاحظه‌ای در مقدار  $Al_2O_3$  ( $1/1-2/27$ )،  $Cr_2O_3$  ( $0/11-0/17$ ) درصد وزنی) و  $CaO$  ( $1/74-1/74$ ) ( $0/12-2/27$  درصد وزنی)،  $MnO$  ( $0/00-0/41$ ) درصد وزنی) و دیگر مقادیر نیز تغییرات چشمگیری دارند. بیشتر ارتوبیروکسن‌ها ترکیب انساتیتی دارند (شکل ۳ ب) و مؤلفه‌های ترکیبی آنها در گستره‌های ( $En_{(78/27-84/94)}$ ،  $Wo_{(13/0-20/07)}$  و  $Fs_{(1/43-2/26)}$ ) تغییر می‌نماید.

پلازیوکلاز شیمی کانی پلازیوکلاز با تجزیه ۸ نمونه از گابروها بررسی شد. نتایج به دست آمده نشان می‌دهند مقدار متوسط  $Al_2O_3$  ( $45/182$ )،  $SiO_2$  ( $50/368$  تا  $45/182$ )، مقادیر بالای  $CaO$  ( $13/675$  تا  $23/940$ ) و  $K_2O$  ( $21/892$ )، مقادیر متفاوت  $Na_2O$  ( $1/258-3/379$ ) و کم ( $Ca/[Ca + Ca^{\#}]$ ) ( $0/000-0/112$ ) درصد وزنی) است. نسبت  $Na + K$  در گستره  $0/705$  تا  $0/902$  تغییر می‌کند. پلازیوکلازها قادر منطقه‌بندی شیمیایی و بیشتر از نوع بیتونیتی هستند، (شکل ۳ پ، [۱۳]) و ترکیب آنها از آنورتیت غنی است ( $An_{(70/51-90/618)}$ ،  $Ab_{(29/0-2-9/618)}$  و  $Or_{(0/000-0/630)}$ ). فرمول ساختاری میانگین محاسبه شده بر مبنای ۸ اتم اکسیژن برای پلازیوکلازها در جدول ۲ آمده است. الیوین الیوین‌های گابروهای همسانگرد به‌واسطه مقادیر اندک  $SiO_2$  ( $39/47$  تا  $40/47$  درصد وزنی)،  $Cr_2O_3$  ( $0/01$  تا  $0/00$ ) درصد وزنی)،  $NiO$  ( $0/12$  تا  $0/02$  درصد وزنی) و  $CaO$  ( $0/02$  تا  $0/04$  درصد وزنی) و مقدار بالای  $MgO$  ( $45/37$  تا  $41/98$ )

درصد)، الیوین (۵ تا ۱۰ درصد) و آمفیبول (۱ تا ۲ درصد) است.

**گابرونوریت‌ها:** دارای بافت دانه‌ای، پوئی‌کیلیتیک هستند و ترکیب کانی‌شناسی آنها شامل پلازیوکلاز (۵۰ تا ۵۵ درصد)، کلینوپیروکسن (۲۵ تا ۳۰ درصد)، ارتوبیروکسن (۱۰ تا ۱۵ درصد)، آمفیبول (۴ تا ۵ درصد) و اکسیدهای آهن - تیتانیم است.

**الیوین گابرونوریت‌ها:** بافت دانه‌ای، پوئی‌کیلیتیک نشان می‌دهند، ترکیب کانی‌شناسی آنها پلازیوکلاز (۴۵ تا ۵۰ درصد)، کلینوپیروکسن (۳۰ تا ۳۵ درصد)، الیوین (۱۰ تا ۱۵ درصد)، ارتوبیروکسن (۷ تا ۸ درصد) و اکسیدهای آهن - تیتانیم. کانی‌های رسی، سرپانتین، کلریت و اپیدوت، کانی‌های ثانویه الیوین گابرونوریت‌ها، گابرونوریت‌ها و الیوین گابرونوریت‌ها هستند.

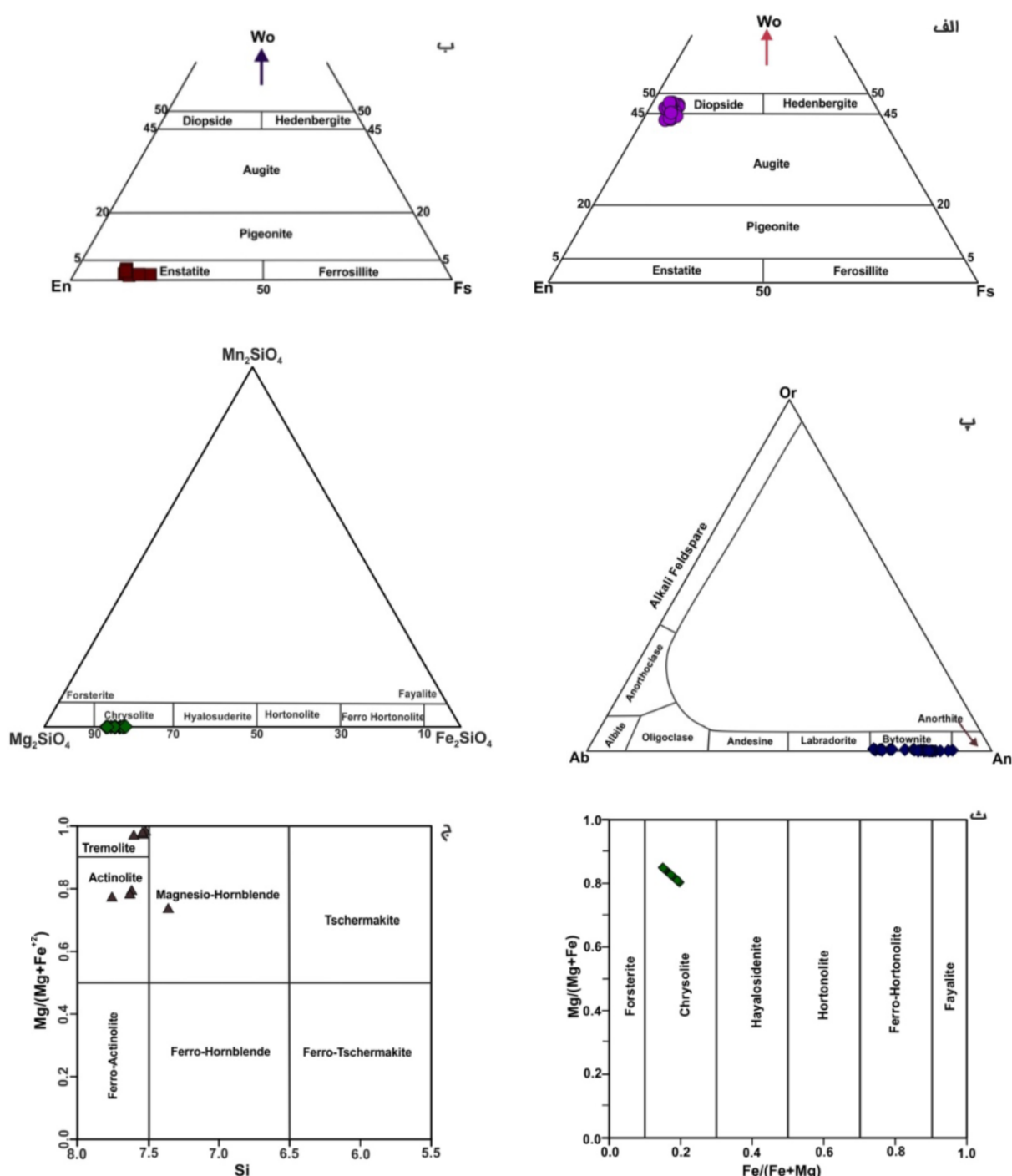
**تروکتولیت‌ها:** دارای بافت دانه‌ای و پوئی‌کلیتیک هستند. کانی‌های اصلی تشکیل دهنده آنها عبارتند از: پلازیوکلاز (۷۰ تا ۷۵ درصد) و الیوین (۲۰ تا ۲۵ درصد) و پیروکسن (حدود ۵ درصد). در مقاطع این سنگ‌ها بلورهای پلازیوکلاز به صورت شکل‌دار، مشخص و دارای ماکل چندريختی واضح در بین سایر بلورها قابل تشخیص هستند. پیروکسن‌ها دارای ماکل دوقلویی هستند. برخی بلورهای الیوین در ارتوبیروکسن‌ها به دام افتاده‌اند. کانی‌های ثانویه تروکتولیت شامل ترمولیت، اکتینولیت، سرپانتین و کانی‌های تیره‌ای مانند هماتیت است. در قسمت‌هایی که دگرسانی شدیدتر بوده است، ارتوبیروکسن‌ها به باستیت تبدیل شده‌اند. در برخی مقاطع، بلورهای الیوین از درون به سرپانتین تبدیل شده‌اند. پیروکسن‌ها نیز تا حدودی دگرسان شده‌اند که با توجه به اجزاء قابل تشخیص باقی‌مانده، می‌توان آنها را کلینوپیروکسن به حساب آورد. پلازیوکلازها نیز تا حدی سوسوریتی شده‌اند. بهطور کلی پدیده کلریتی و سرپانتینی شدن به‌وضوح دیده می‌شود که ناشی از دگرسانی رخ داده در منطقه است.

### شیمی کانی

کلینوپیروکسن شیمی کانی کلینوپیروکسن گابروهای همسانگرد افیولیت کرمانشاه (جدول ۱) با مقدار  $SiO_2$  (۱) درصد وزنی،  $MgO$  ( $53/41$  تا  $51/84$ ) درصد وزنی،  $CaO$  ( $17/35$  درصد وزنی) و غنی از کلسیم ( $Wo_{(43/8-48/5)}$  و  $Na_2O$  ( $23/49$  تا  $20/76$ ) درصد وزنی) و مقدار اندک  $Na_2O$  ( $Na$ ) کمتر از  $0/54$  درصد وزنی) و  $Cr_{(2/4-5/4)}$  بین

ث). مؤلفه فورستریتی الیوین‌ها در گستره (۸۰/۰۷-۸۴/۸۲) تغییر می‌کند. فرمول ساختاری میانگین محاسبه شده بر مبنای ۴ اتم اکسیژن برای الیوین‌ها در جدول ۳ آورده شده است.

مشخص می‌شوند. الیوین‌ها بیشتر ترکیب فورستریتی دارند (شکل ۳ ت) و در نمودار  $Mg/(Mg+Fe)$  نسبت به  $Fe/(Fe+Mg)$  [۱۳] در گستره کریزولیت قرار دارند (شکل ۳)

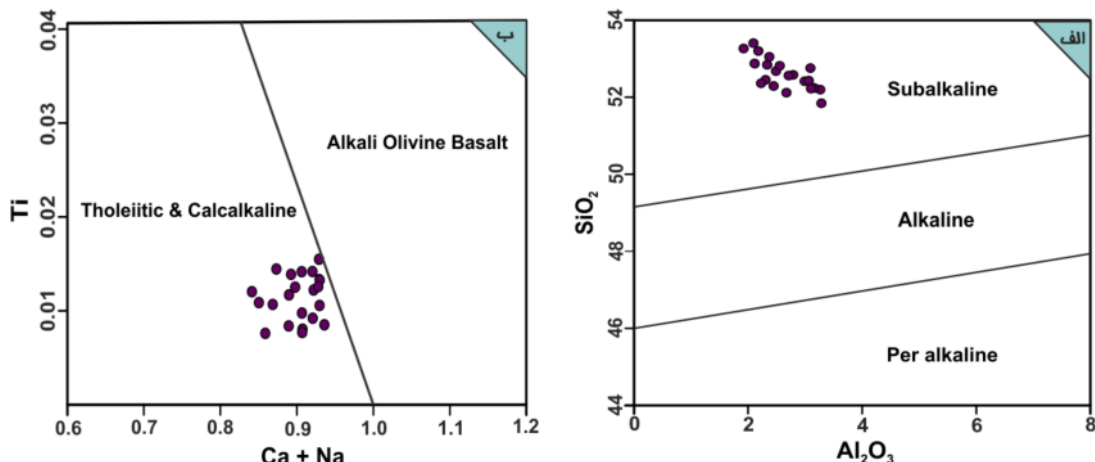


شکل ۳ نمودارهای ردیبندی؛ (الف) نمودار En-Wo-Fs برای کلینوپیروکسن‌ها [۱۲]، (ب) نمودار برای ارتوپیروکسن‌ها [۱۲]، (پ) نمودار نامگذاری پلازیوکلازها [۱۳]، (ت) نمودار مثلثی Fa-Fo-Tp برای الیوین، (ث) نمودار  $Mg/(Mg+Fe)$  نسبت به  $Fe/(Fe+Mg)$  برای الیوین [۱۳] و (ج) نمودار  $Mg/\#Mg$  نسبت به Si برای ردیبندی آمفیبول‌ها [۱۴] برای گابروهای همسانگرد افیولیت کرمانشاه.

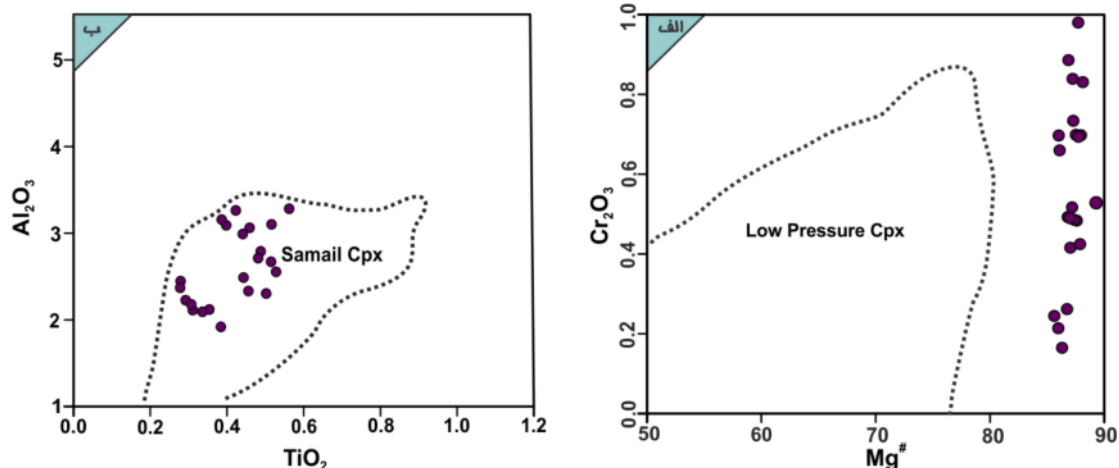
## بحث

نتایج به دست آمده از شیمی کانی کلینوپیروکسن گابروهای همسانگرد بر نمودارهای  $\text{SiO}_2$  نسبت به  $\text{Al}_2\text{O}_3$  (شکل ۴ الف، [۱۵]) و  $\text{Ti}$  نسبت به  $\text{Ca}+\text{Na}$  (شکل ۴ ب، [۱۶]) نشان دهنده ماهیت تولئیتی خاستگاه ماقمایی است. کلینوپیروکسن-های مورد بررسی دارای مقادیر نسبتاً کم  $\text{Al}_2\text{O}_3$  (۱,۹۲ تا ۳,۲۸ درصد وزنی) هستند. نمودارهای  $\text{Cr}_2\text{O}_3$  نسبت به  $\text{Mg}^{\#}$  (شکل ۵ الف) و  $\text{Al}_2\text{O}_3$  نسبت به  $\text{TiO}_2$  (شکل ۵ ب) نشان می‌دهند که این پیروکسن‌ها در شرایط فشار متوسط متبلور گشته‌اند [۱۷]؛ زیرا پیروکسن‌هایی که در شرایط فشار بالا متبلور می‌شوند، دارای مقادیر بالای  $\text{Cr}_2\text{O}_3$ ،  $\text{TiO}_2$  و نیز  $\text{Al}_2\text{O}_3$  هستند.

آمفیبول نتایج تجزیه آمفیبول‌ها نشان از مقدار نسبتاً بالای  $\text{SiO}_2$  (۱۲,۳۸-۵۵,۲۱ درصد وزنی)،  $\text{CaO}$  (۰,۰۰-۰,۳۶ درصد وزنی) و مقدار کم  $\text{Cr}_2\text{O}_3$  (۰,۰۳-۰,۱۱ درصد وزنی) و  $\text{K}_2\text{O}$  (۰,۰۷-۰,۹۴) و  $\text{Na}_2\text{O}$  (۰,۰۶-۰,۲۵ درصد وزنی) دارد. آمفیبول‌های مورد بررسی از منیزیم غنی بوده و  $\text{Mg}^{\#}$  در گستره ۶۴,۳۴ تا ۸۴,۸۶ آنها در گستره ۰,۷۳ تا ۰,۹۸ و  $\text{Ca}^{\#}$  (۰,۸۷ تا ۰,۹۶) در گستره ۰,۷۳ تا ۰,۹۶ متغیر است. نمونه‌های آمفیبول افیولیت کرمانشاه در نمودار  $\text{Si}$  نسبت به  $\text{Mg}[\text{Mg}+\text{Fe}^{+2}]$  [۱۴] بیشتر در گستره ترمولیت، اکتینولیت و اکتینو-هورنبلند واقع‌اند (شکل ۳ ج).



شکل ۴ (الف) نمودار  $\text{SiO}_2$  نسبت به  $\text{Al}_2\text{O}_3$  [۱۵] و (ب) نمودار  $\text{Ti}$  نسبت به  $\text{Ca}+\text{Na}$  [۱۶].

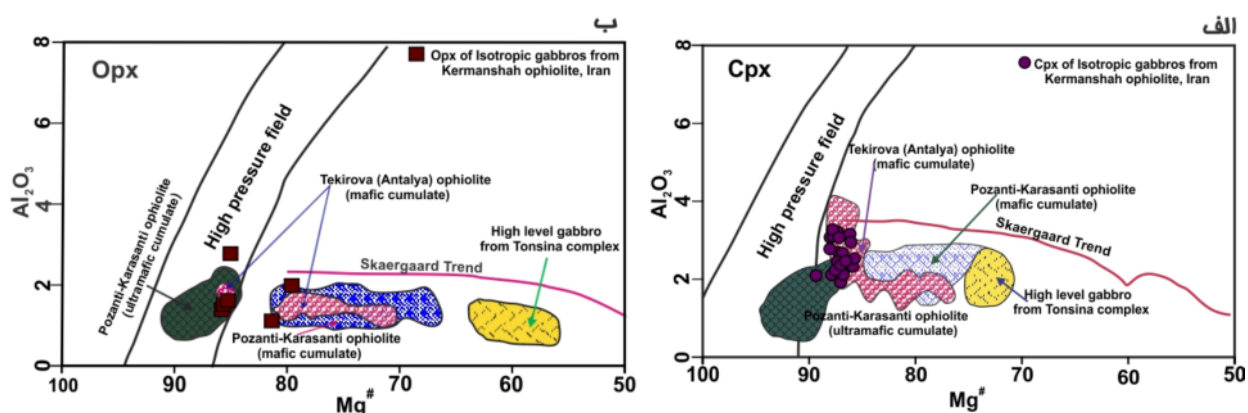


شکل ۵ (الف) نمودار  $\text{Cr}_2\text{O}_3$  نسبت به  $\text{Mg}^{\#}$ ، گستره کلینوپیروکسن کم فشار نتیجه بررسی‌های تجربی N-MORB در فشار ۱ اتمسفر است [۱۸] و (ب) نمودار  $\text{Al}_2\text{O}_3$  نسبت به  $\text{TiO}_2$  [۱۷]، گستره افیولیت سمایل برگرفته از مرجع [۸] است.

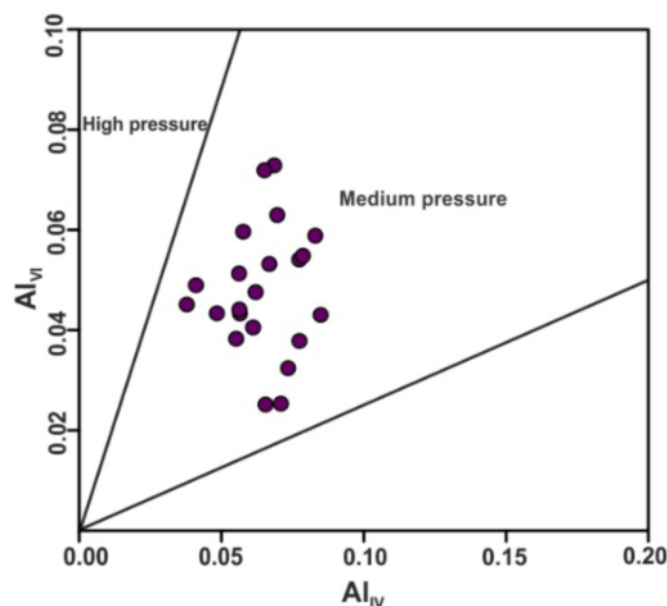
زمین‌ساختی، نمودار  $\text{Na}/\text{X}$  به  $\text{Fe}^{+2}$  نسبت به  $\text{Ti}/(\text{Fe}^{+2} + \text{Mg})$  (شکل‌های ۸ و ۹)، گستره جزایر قوسی را نشان می‌دهند و در نمودارهای  $\text{Al}_{\text{iv}}/\text{Ti}$  نسبت به  $\text{Al}_{\text{iv}}$  (شکل ۸ پ) و  $\text{Al}_{\text{iv}}/\text{Ca}$  نسبت به  $\text{Ti}$  (شکل ۹ ت)، نیز مشخصه‌های تولیتیت‌های جزایر قوسی را به نمایش می‌گذارند. کلینوپیروکسن‌های مورد بررسی در نمودار  $\text{Ti} + \text{Cr}$  نسبت به  $\text{Ca}$  (شکل ۹ الف، [۱۶]) و نمودار  $\text{Ti}$  نسبت به  $\text{Al}$  (شکل ۹ ب، [۱۶]) در گستره تولیت جزیره قوسی واقع می‌شوند.

کلینوپیروکسن‌هایی که از یک مagma بازی در فشار پایین متبلور می‌شوند،  $\text{Mg}^{\#}$  کمتر از ۸۴ دارند [۱۹]. کلینوپیروکسن‌ها و ارتوبیروکسن‌های گابروهای همسانگرد افیولیت کرمانشاه در نمودار  $\text{Al}_2\text{O}_3$  نسبت به  $\text{Mg}^{\#}$  در گستره فشار متوسط واقع می‌شوند (شکل ۶). در نمودار توزیع آلومینیم هشت‌وجهی و چهاروجهی [۲۰] نیز گابروهای افیولیت کرمانشاه در گستره فشار متوسط رسم می‌شوند (شکل ۷).

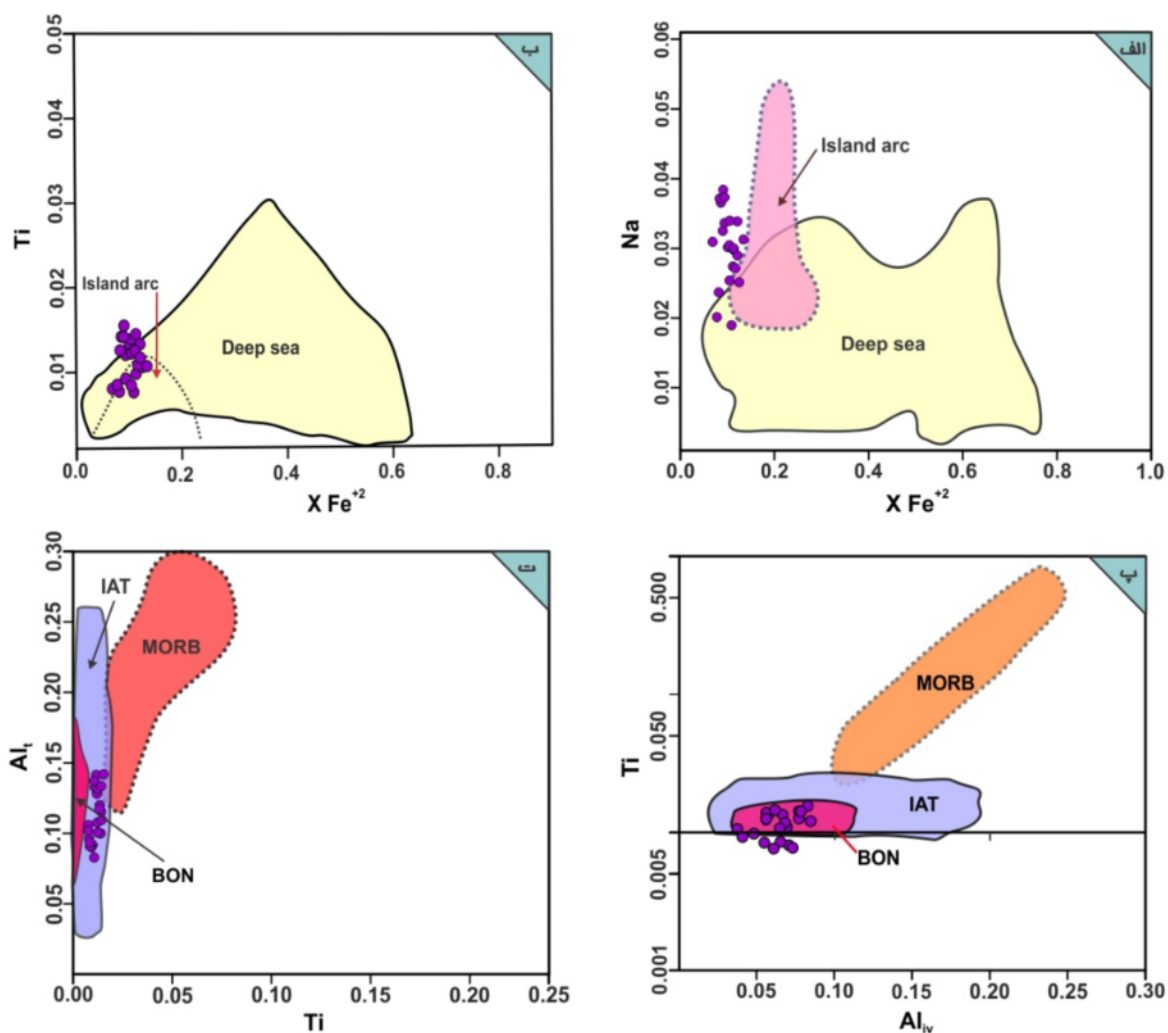
داده‌های مربوط به شیمی کانی کلینوپیروکسن گابروهای همسانگرد افیولیت کرمانشاه بر نمودارهای تفکیک محیط



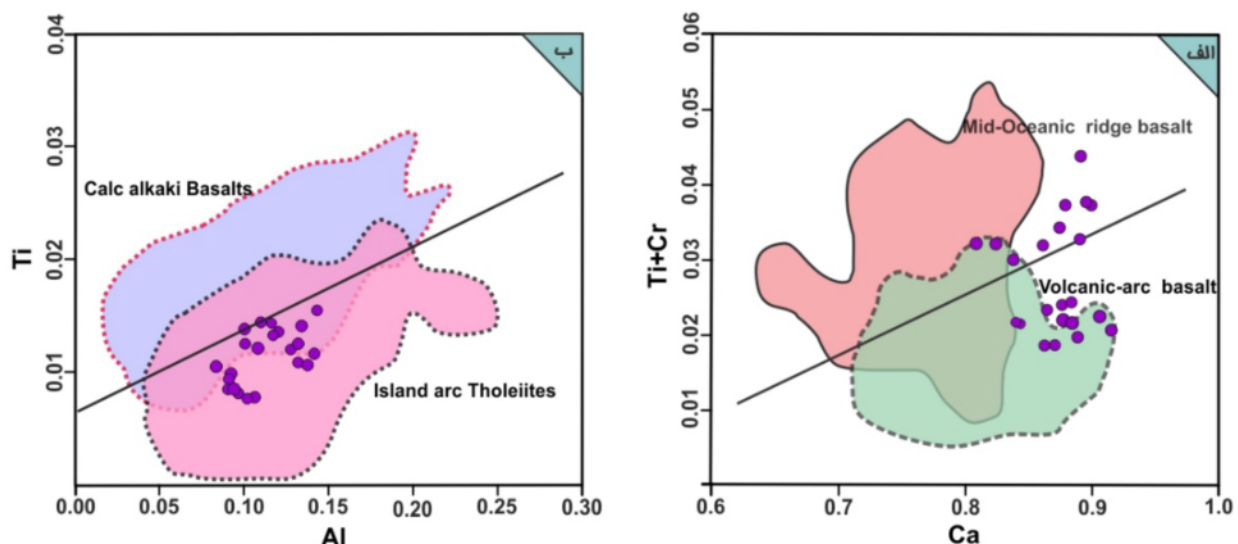
شکل ۶ نمودار  $\text{Al}_2\text{O}_3$  نسبت به  $\text{Mg}^{\#}$  در (الف) کلینوپیروکسن‌ها و (ب) ارتوبیروکسن‌ها و گابروهای همسانگرد افیولیت کرمانشاه. (گستره فشار بالا از مرجع [۲۳]؛ گستره‌های افیولیت پوزانتی و کارانتی از [۱۹]؛ گستره‌های افیولیت تکیروا (Tekirova، آنتالیا) از مرجع [۲۴] و داده‌های همبافت تونزینا (Tonsina) از مرجع [۲۵]).



شکل ۷ نمودار  $\text{Al}_{\text{VI}}$  نسبت به  $\text{Al}_{\text{IV}}$  برای تعیین فشار کلی تبلور کلینوپیروکسن‌های گابروهای افیولیت کرمانشاه.



شکل ۸ نمودارهای تعیین کننده محیط زمین ساختی؛ (الف)  $Na / X Fe^{+2}$  [۲۱] و  $Ti / X Fe^{+2}$  [۲۱] (ب)  $Al_{iv} / Ti$  نسبت به [۲۲] و (ت) نمودار  $Al_t / Ti$  نسبت به [۲۲]



شکل ۹ (الف) نمودار  $Ti + Cr / Ca$  نسبت به  $Al$  [۱۶] و (ب) نمودار  $Ti / Ca$  نسبت به  $Al$  [۱۶] برای کلینوپیروکسن‌های گابروهای همسانگرد افیولیت کرمانشاه.

جزیره قوسی هستند. مؤلفه آنورتیتی پلازیوکلازهای موجود در گابروهای همسانگرد مورد بررسی بالاست ( $An_{(70/51-151)}$ ); وجود پلازیوکلاز کلسیمی در گابروها ممکن است خاستگاه جزیره قوسی آنها را به ذهن آورد سنگهای گابرویی محیط قوس به سبب مقدار بالای کلسیک موجود در پلازیوکلازهای آنها از گابروهای اقیانوسی متمایز هستند [۶، ۳۹، ۴۰]. بعبارتی پلازیوکلازهای موجود در گابروهای با خاستگاه جزیره قوسی دارای مقدار مؤلفه آنورتیتی بالاتری نسبت به انواع تشکیل شده در محیط پشتہ میان اقیانوسی هستند.

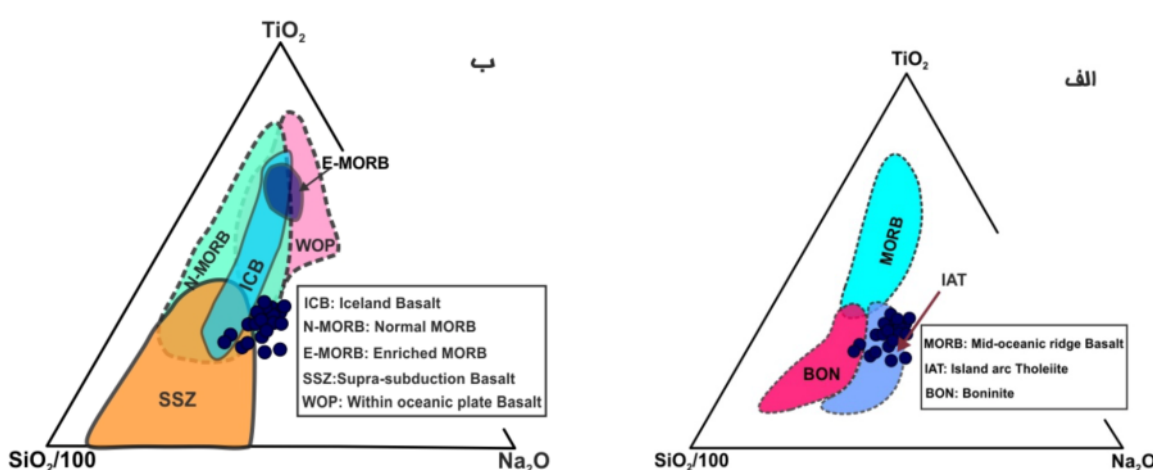
تغییرات مقدار آنورتیت پلازیوکلاز نسبت به انستابیت پیروکسن برای سنگهای گابرویی همراه با جایگاه جزیره قوسی و همچنین برای بسیاری از افیولیت‌های مدیترانه‌ای شامل ترودوس [۴۱]، پوزانتی - کارزانتی [۷]، قزل داغ [۲۴] و کومورهان (Kömürhan) [۴۲] در شکل ۱۱ نشان داده شده است. در نمودار  $En-An$ - $Mg^{\#}$ ، گابروهای مورد بررسی شباهت‌های بسیاری با سنگهای مربوط به محیط فرورانش نشان می‌دهند. تغییرات مقدار آنورتیت پلازیوکلازها نسبت به  $Mg^{\#}$  کلینوپیروکسن‌ها، گابروهای تشکیل شده در پشتہ میان اقیانوسی (MOR) و محیط جزایر قوسی را از هم تفکیک می‌کنند. کلینوپیروکسن‌های سازنده سنگهای گابرویی افیولیت کرمانشاه بر نمودار  $En-Mg^{\#}$ , mol% می‌باشند (شکل ۱۲)، بنابراین ممکن است در محیط بین گابروهای پشتہ میان اقیانوسی و محیط مربوط به قوس را نشان می‌دهند (شکل ۱۲)، بنابراین ممکن است در محیط پشت قوس یا پهنه ابرفرورانشی تشکیل شده باشند.

کلینوپیروکسن‌های گابروهای همسانگرد افیولیت کرمانشاه بر نمودار تعیین محیط زمین‌ساختی  $SiO_2/100-TiO_2-Na_2O$  (شکل ۱۰ الف، [۲۲])، مشخصه‌های تولئیت‌های جزایر قوسی را به نمایش می‌گذارند و در محیط پهنه ابرفرورانشی زون تشکیل شده‌اند (شکل ۱۰ ب، [۲۲، ۲۶]).

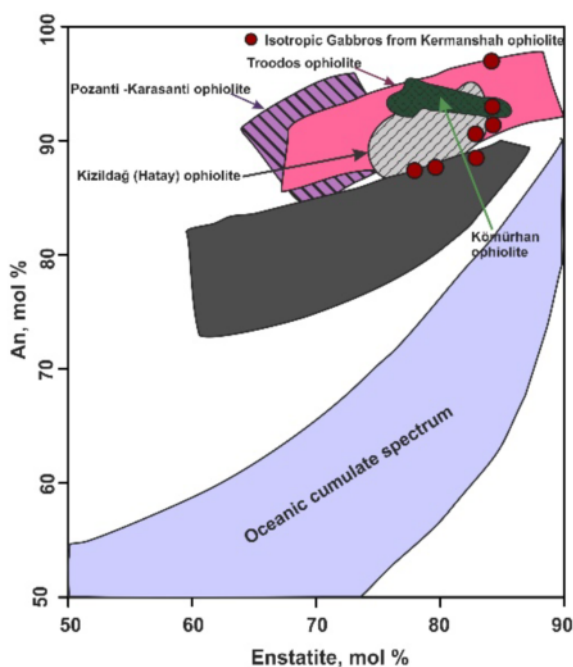
به طور کلی، نتایج برآمده از بررسی‌های انجام شده بر کلینوپیروکسن‌های موجود در گابروهای همسانگرد افیولیت کرمانشاه مشخصه‌های جزایر قوسی را نشان می‌دهند و می‌توان با توجه به شواهد مستدل، خاستگاه پهنه ابرفرورانشی را برای افیولیت کرمانشاه در زمین درز زاگرس در نظر گرفت. این نتایج و تفسیرهای انجام شده با نتایج پژوهش‌های پیشین از جمله ماهیت تولئیت جزیره قوسی دایک‌های منفرد [۲۸]، وجود پریدوتیت‌های گوشته‌ای، گابروها و سنگ‌های آتشسفانی با ویژگی تولئیت جزیره قوسی و نیز بازالت‌های قلیایی درون صفحه‌ای [۲۹]، گابروهای بازالت پشتہ‌های میان اقیانوسی (MORB) و هارزبورزیت‌های ابرفرورانشی [۳۰]، خاستگاه پهنه ابرفرورانشی برای دایک‌های ورقه‌ای [۳۱] همخوانی دارد.

افیولیت‌های تشکیل شده در جایگاه پهنه ابرفرورانشی به سه محیط مختلف تعلق دارند: جزایر قوسی، حوضه‌های پشت قوس و پیش قوس. در محیط پهنه ابرفرورانشی، مagmaهای تولئیت جزایر قوسی (IAT) و نیز بونینیتی ممکن است دیده شوند [۲۴-۳۲].

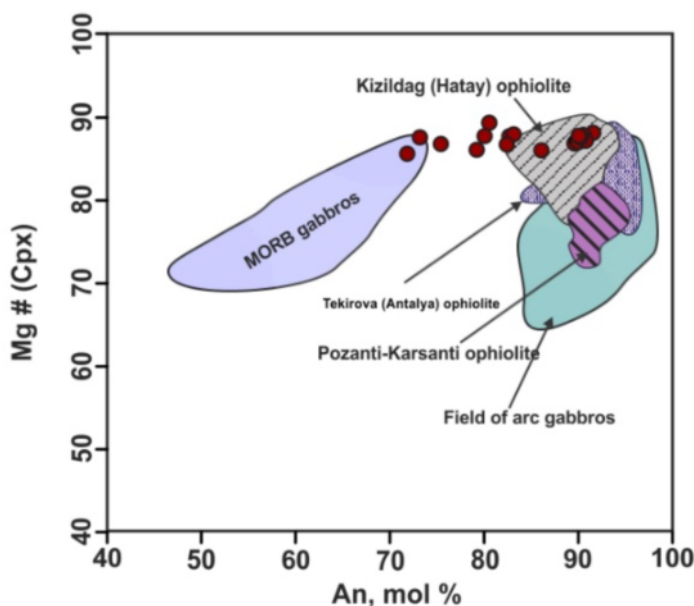
نسبت  $FeO/MgO$  (کمتر از ۰.۵) و  $K_2O/Na_2O$  (کمتر از ۰.۱) آمفیبول‌های مورد بررسی مشابه آمفیبول‌های محیط



شکل ۱۰ (الف و ب) نمودارهای تعیین محیط زمین‌ساختی  $SiO_2/100-TiO_2-Na_2O$ . [۲۲]



شکل ۱۱ نمودار An-En, برای کلینوپیروکسن‌های گابروهای همسانگرد افیولیت کرمانشاه. گستره افیولیت ترودوس [۴۱]؛ پوزانتی - کارزانتی [۷]، قزل داغ [۲۴] و کومورهان [۴۲] نیز برای مقایسه نشان داده شده است.



شکل ۱۲ مقدار آنورتیت پلاژیوکلازها نسبت به  $\text{Mg}^{\#}$  کلینوپیروکسن‌های همسانگرد افیولیت کرمانشاه. گستره‌های MORB و گابروهای مربوط به قوس [۳۹]؛ گستره افیولیت پوزانتی - کارزانتی [۷]، قزل داغ و تکیروا [۲۴].

چنان که از بررسی‌های تجربی نیز مشخص شده است فشار بالای بخار آب در یک سیستم آلبیت - آنورتیت - آب، سبب تبلور پلاژیوکلازهای غنی از آنورتیت می‌شود [۴۳]. علاوه بر این گفته می‌شود که مذاب‌های بازالتی آبدار در مقایسه با

شرایط فشار بالای آب در مagma را می‌توان با توجه به وجود پیروکسن غنی از کلسیم به جای الیوین نتیجه گرفت [۴۳]، زیرا پیروکسن‌های دارای مقدار کم کلسیم از مذاب‌های بازالتی و آندزیت بازالتی آبدار متبلور نمی‌شوند [۴۴، ۴۵]. پلاژیوکلازهای غنی از کلسیم این موضوع را تأیید می‌کنند،

پلازیوکلازهای کلسیک ( $\text{An}_{(70/51-90/15)}$ ) در گابروها نشان از تشکیل آنها در محیط زمین ساختی مربوط به فرورانش دارد.

- وجود کانی آمفیبول در گابروها نشان دهنده شرایط آبدار بودن محیط در زمان جدایش ماقمایی آنهاست و خاستگاه مربوط به فرورانش را برای آنها تأیید می‌کند.

شیمی کانی کلینوپیروکسن گابروهای همسانگرد نشان می‌دهد که ماقمای سازنده آنها وابسته به تولئیت‌های جزایر قوسی است که شاخص افیولیت‌های تشکیل شده در محیط پهنه ابرفرورانشی است.

#### قدردانی

نویسنده‌گان مقاله از پروفسور فلیکس پتروویچ لسنوو (پژوهشگر ارشد آزمایشگاه زمین‌دینامیک و فعالیت ماقمایی مؤسسه زمین‌شناسی و کانی‌شناسی سوبولف شاخه سیبری، عضو فرهنگستان علوم طبیعی روسیه، متخصص در زمینه فعالیت ماقمایی مافیک - فرامافیک نواحی چین خورده) برای انجام تجزیه‌های ریزپردازش الکترونی قدردانی می‌کنند.

#### مراجع

- [1] Shafaii Moghadam H., Stern, R. J., "Late Cretaceous fore arc ophiolites of Iran", Island Arc 20 (2011) 1-4.
- [2] Shahidi M., Nazari, H., "Geological map of Harsin, 1/100.000 scale", Geological survey of Iran, Tehran, 1997.
- [3] Bağci U., "The geochemistry and petrology of the ophiolitic rocks from the Kahramanmaraş region, southern Turkey", Turkish Journal. Earth Science 22 (2013) 1-27.
- [4] Arvin M., Babaei A., Ghadmi G., Dargahi S., Ardekani A.S., "The origin of the Kahnuj ophiolitic complex, SE of Iran: Constraints from whole rock and mineral chemistry of the Bande-Zeyarat gabbroic complex", Ophioliti 30 (2005) 1-14.
- [5] Boudier F., Godard M., Armbruster C., "Significance of gabbronorite occurrence in the crustal section of the Semail ophiolite", Marine Geophysical Research 21 (2000) 307-326.
- [6] Parlak O., Delaloye M., Bingöl E., "Mineral chemistry of ultramafic and mafic cumulates as an indicator of the arc-related origin of the Mersin ophiolite (southern Turkey)", Geologische Rundschau 85 (1996) 647-661.
- [7] Parlak O., Höck V., Delaloye M., "Suprasubduction zone origin of the Pozanti-Karsanti ophiolite (southern Turkey) deduced from

مذاب‌های بی‌آب، پلازیوکلازهای آنورتیتی بیشتری را متباور می‌کنند [۴۶].

در مجموع نتایج زمین‌شیمیایی سنگ کل دایک‌ها [۳۱]، زمین‌شیمی گابروهای همسانگرد، سنگ‌های آتشفسانی و نیز داده‌های مربوط به شیمی کانی گابروهای همسانگرد شواهد مستدلی در تأیید خاستگاه پشت قوس برای مجموعه افیولیتی کرمانشاه و نسبت دادن آن به محیط پهنه ابرفرورانشی فراهم می‌آورد.

#### برداشت

- افیولیت کرمانشاه دارای هر دو نوع گابرو (گابروهای لایه‌ای و همسانگرد) است. گابروهای همسانگرد افیولیت کرمانشاه شامل طیفی از گابرو، الیوین‌گابرو، گابرونوریت، الیوین‌گابرو نوریت و تروکتولیت هستند.

- گابروهای همسانگرد بیشتر بافت دانه‌ای، بوئی‌کیلیتیک نشان می‌دهند، ترکیب کانی‌شناسی آنها عبارت است از پلازیوکلاز، کلینوپیروکسن، ارتوپیروکسن، الیوین و آمفیبول. کروم‌اسپینل و زوئیزیت کانی‌های فرعی و کانی‌های رسی، کلریت و مگنتیت کانی‌های ثانویه این سنگ‌ها هستند.

- شیمی کانی گابروهای همسانگرد نشان می‌دهد که کلینوپیروکسن‌ها با ترکیب اوژیت - دیوپسیدی و گستره ترکیبی ( $\text{En}_{(45/79-50/91)}$ ،  $\text{Fs}_{(36/41-48/5)}$  و  $\text{Wo}_{(43/81-50/4)}$ ) غنی از کلسیم و فقیر از سدیم  $\text{Na}_2\text{O}$  کمتر از ۰٪ درصد وزنی)  $\text{TiO}_2$  با مقدار نسبتاً بالای  $\text{Mg}^+$  (۸۵/۶۲ تا ۸۹/۳۵) و اندکی  $\text{TiO}_2$  کمتر از ۰٪ درصد وزنی) مشخص می‌شود و شباهت‌های بسیاری را با کلینوپیروکسن‌های مربوط به جزایر قوسی نشان می‌دهند.

- پلازیوکلازها از آنورتیت غنی بوده و بیشتر از نوع بیتونیتی هستند ( $\text{Ab}_{(9/62-29/02)}$ ،  $\text{An}_{(70/51-90/15)}$  و  $\text{Or}_{(0/0-6/3)}$ ).

- الیوین‌ها بیشتر ترکیب فورستریتی دارند و مؤلفه فورستریتی آنها در گستره  $\text{Mg}^+$  تغییر می‌کند.

- ارتوپیروکسن‌ها ترکیب انستابیتی دارند و گستره ترکیبی آنها: ( $\text{En}_{(78/271-84/94)}$ ،  $\text{Fs}_{(13/0-20/07)}$  و  $\text{Wo}_{(1/43-3/46)}$ ) است.

- آمفیبول‌ها از منیزیم غنی هستند و  $\text{Mg}^+$  آنها در گستره ۶۴/۳۴ تا ۸۴/۸۶ تغییر می‌کند.

- وجود الیوین‌های با منیزیم بالا ( $\text{Fo}_{(80/0-7-84/82)}$  و  $\text{Pirokisen}_{(85/62-89/35)}$  از منیزیم  $\text{Mg}^+$  و نیز

- [18] Elthon D., "Petrology of gabbroic rocks from the Mid - Cayman Rise spreading center", Journal of Geophysical Research: Solid Earth 92 (1987) 658-682.
- [19] Parlak O., Hoeck V., Delaloye M., "The suprasubduction zone Pozanti-Karsanti ophiolite, southern Turkey: evidence for high-pressure crystal fractionation of ultramafic cumulates", Lithos 65 (2002) 205–224.
- [20] Wass, S. Y., "Multiple origins of clinopyroxenes in alkali basaltic rocks", Lithos 12 (1979) 115-132.
- [21] Asthana D., "Relict clinopyroxenes from within-plate metadolerites of the Petroi Metabasalt, the New England fold belt, Australia", Mineralogy Magazine 55 (1991) 549-651.
- [22] Beccaluva L., Macciotta G., Piccardo G.B.O., "Clinopyroxene composition of ophiolite basalts as petrogenetic indicator", Chemical Geology 77 (1989) 165-182.
- [23] Medaris L.G., "High-pressure peridotites in south-western Oregon", Geological Society of America Bulletin. 83(1972) 41–58.
- [24] Bağcı U., Parlak O., Höck V., "Geochemical character and tectonic environment of ultramafic to mafic cumulate rocks from the Tekirova (Antalya) ophiolite (southern Turkey)", Geological Journal 41 (2006) 193-219.
- [25] DeBari S.M., Coleman R., "Examination of the deep levels of an island arc: Evidence from the Tonsina Ultramafic - Mafic Assemblage, Tonsina, Alaska", Journal of Geophysical Research: Solid Earth 94(1989) 4373-4391.
- [26] Saccani E., Allahyari Kh., Beccaluva L., Bianchini G., "Geochemistry and petrology of the Kermanshah ophiolites (Iran): Implication for the interaction between passive rifting, oceanic accretion, and OIB-type components in the Southern Neo-Tethys Ocean", Gondwana Research 24 (2013) 392-411.
- [27] Saccani E., Azimzadeh Z., Dilek Y., Jahangiri A., "Geochronology and petrology of the Early Carboniferous Misho Mafic Complex (NW Iran), and implications for the melt evolution of Paleo-Tethyan rifting in Western Cimmeria", Lithos 162 (2013) 264-278.
- [28] Desmons J., Beccaluva, L., "Mid-ocean ridge and island-arc affinities in ophiolites from Iran: palaeographic implications: complementary reference", Chemical Geology 39(1-2) (1983):39-63.
- whole-rock and mineral chemistry of the gabbroic cumulates", Geological Society, London, Special Publications 173 (2000) 219-234.
- [8] Pallister J.S., Hopson C.A., "Samail ophiolite plutonic suite: field relations, phase variation, cryptic variation and layering, and a model of a spreading ridge magma chamber", Journal of Geophysical Research: Solid Earth 86 (1981) 2593-2644.
- [9] Yellappa T., Tsungogae T., Chetty T.R.K., Santosh M., "Mineral chemistry of isotropic gabbros from the Manamedu Ophiolite Complex, Cauvery Suture Zone, southern India: Evidence for neoproterozoic suprasubduction zone tectonics", Journal of Asian Earth Sciences 130 (2016).
- [10] Amini S., Moradpour R., Zareii Sahamieh R., "Petrography, geochemistry and petrology of the South Sahneh Ophiolite Complex (NE Kermanshah)", Journal of Crystallography and mineralogy of Iran 13 (2) (2007) 225-246 (in Persian).
- [11] Kertz R., "Symbols for rock-forming minerals", American Mineralogist, 68 (1983) 277-279.
- [12] Morimoto N., Fabries J., Ferguson A.K., Ginzburg I.V., Ross M., Seifert F.A., Zussman J., Aoki K., Gottardi G., "Nomenclature of pyroxenes", American Mineralogist 73 (1988) 1123–1133.
- [13] Deer W.A., Howie R.A., Zussman J., "An introduction to the rock-forming minerals" Longman London 696 (1992).
- [14] Leake E.B., Wooley A.R., Arps C.E.S., Birch W.D., Gilbert M.C., Grice J.D., Hawthorne F.C., Kato A., Kisch H.J., Krivovichev V.G., Linthout K., Laird, J., Mandarino J., Maresch W.V., Nickhel E.H., Rock N.M.S., Schumacher J.C., Smith D.C., Stephenson N.C.N., Ungaretti L., Whittaker E.J.W., Youzhi G., "Nomenclature of Amphiboles", European Journal of Mineralogy 9 (1997) 623-651.
- [15] Le Bas M.J., "The role of aluminum in igneous clinopyroxenes with relation to their parentage", American Journal of Science 260(1962) 267-288.
- [16] Leterrier J., Maury R.C., Thonon P., Girard D., Marechal M., "Clinopyroxene composition as a method of identification of the magmatic affinities of paleo-volcanic series", Earth and Planetary Science Letters 59(1982) 139-154.
- [17] Green T.H. Ringwood A., "Genesis of the calc-alkaline igneous rock suite", Contributions to Mineralogy and Petrology 18 (1968) 105-162.

- [38] Tanirli M., Rizaoglu T., "Whole-rock and mineral chemistry of mafic cumulates from the Low-Ti ophiolite in the southern part of Kahramanmaraş, Turkey", *Russian Geology and Geophysics* 57 (2016) 1398-1418.
- [39] Burns L.E., "The Border Ranges ultramafic and mafic complex, south-central Alaska: cumulate fractionates of island-arc volcanics", *Canadian Journal of Earth Sciences* 22 (1985) 1020-1038.
- [40] Hebert R., Laurent R., "Mineral chemistry of ultramafic and mafic plutonic rocks of the Appalachian ophiolites, Quebec, Canada", *Chemical Geology* 77 (1989) 265-285.
- [41] Hebert, R., Laurent, R., "Mineral chemistry of the plutonic section of the Troodos ophiolite: New constraints for genesis of arc-related ophiolites, in: Malpas, J., Moores, E., Panayiotou, A., Xenophontos, C. (Eds.), *Ophiolites—Oceanic Crustal Analogues*", Proc. Troodos Ophiolite Symposium—1987. Cyprus (1990) 149–163.
- [42] Rizaoglu T., Parlak O., Hoeck V., Isler F., "Nature and significance of Late Cretaceous ophiolitic rocks and its relation to the Baskil granitoid in Elazığ region, SE Turkey, in: Robertson, A.H.F., Mountrakis, D. (Eds.), *Tectonic Development of the Eastern Mediterranean Region*. Geological Society, London, Specific Publication 260 (2006) 327–350.
- [43] Johannes W., "Melting of plagioclase in the system Ab-An- and Qz-Ab-An at  $P_{H2O}$ =5 kbars, an equilibrium problem", *Contributions to mineralogy and petrology* 66 (1978) 295-303.
- [44] Kushiro I., "The system forsterite-diopside-silica with and without water at high pressures", *American Journal Science* 267 (1969) 269-294.
- [45] Sisson T.W., Grove T.L., "Experimental investigations of the role of  $H_2O$  in calc-alkaline differentiation and subduction zone magmatism", *Contributions to mineralogy and petrology* 113 (1993) 143-166.
- [46] Arculus R.J., Wills K.J., "The petrology of plutonic blocks and inclusions from the Lesser Antilles island arc", *Journal of Petrology* 21(1980) 743-799.
- [29] Ghazi A.M., Hassanipak A. A., "Geochemistry of subalkaline and alkaline extrusives from the Kermanshah ophiolite, Zagros Suture Zone, Western Iran: Implications for Tethyan plate tectonics", *Asian Journal of Earth Sciences* 17 (1999): 319-332.
- [30] Allahyari K., Saccani, E., Pourmoafi, M., Beccaluva L., Masoudi F., "Petrology of mantle peridotites and intrusive mafic rocks from the Kermanshah ophiolitic complex (Zagros belt, Iran): implications for the geodynamic evolution of the Neo-Tethyan oceanic branch between Arabia and Iran", *Ophioliti* 35(2010): 71–90.
- [31] Torkian A., Daraee zadeh Z., Aliani F., "Application of geochemical data for determining tectonic setting of diabasic dykes in the Kermanshah ophiolite; Sahneh-Harsin area", *Journal of Crystallography and mineralogy of Iran* 21(2) (2012) 331-342 (in Persian).
- [32] Bağci U., Parlak O., Höck V., "Geochemistry and tectonic environment of diverse magma generations forming the crustal units of the Kızıldağ (Hatay) ophiolite, Southern Turkey", *Turkish Journal of Earth Sciences* 17 (2008) 43-71.
- [33] Bağci U., Parlak O., "Petrology of the Tekirova (Antalya) ophiolite (Southern Turkey): evidence for diverse magma generations and their tectonic implications during Neotethyan-subduction", *International Journal of Earth Sciences* 98 (2009) 387-405.
- [34] Beccaluva L., Coltorti M., Giunta G., Siena F., "Tethyan vs Cordilleran ophiolites: a reappraisal of distinctive tectono-magmatic features of suprasubduction complexes in relation to the subduction mode", *Tectonophysics* 393 (2004) 163–174.
- [35] Beccaluva L., Coltorti M., Saccani E., Siena F., "Magma generation and crustal accretion as evidenced by supra - subduction ophiolites of the Albanide–Hellenide Subpelagonian zone", *Island Arc* 14 (2005) 551-563.
- [36] Saccani E., Photiades A., "Mid-ocean ridge and supra-subduction affinities in the Pindos ophiolites (Greece): implications for magma genesis in a forearc setting", *Lithos* 73 (2004) 229-253.
- [37] Saccani E., Photiades A., "Petrogenesis and tectonomagmatic significance of volcanic and subvolcanic rocks in the Albanide–Hellenide ophiolitic mélanges", *Island Arc* 14 (2005) 494-516.